

**AI. 3. Espectros IR de los complejos con Nitratos ( $4000\text{ -- }400\text{ cm}^{-1}$ )**

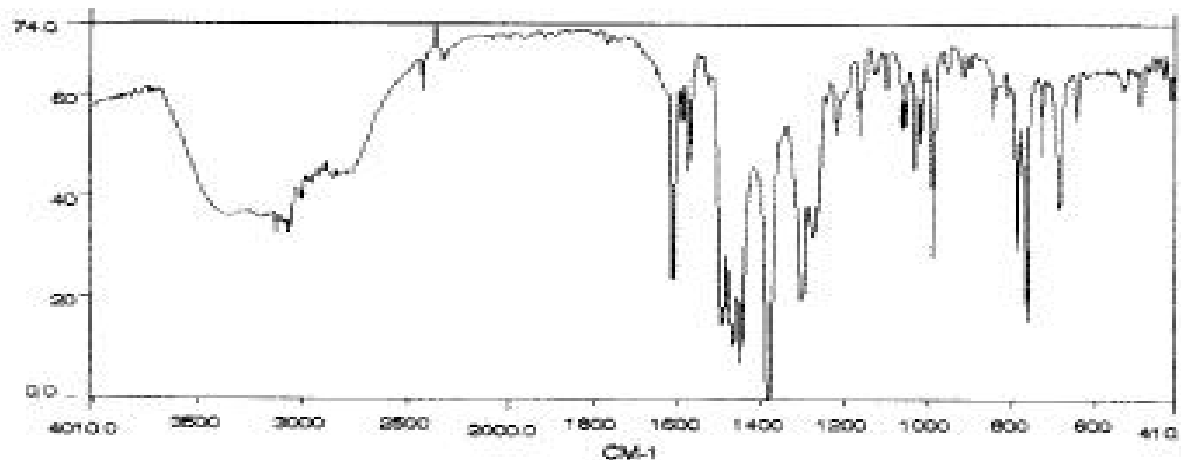


Fig. 1.  $\text{Co}(\text{HL}')_2(\text{NO}_3)_2 \cdot \text{H}_2\text{O}$

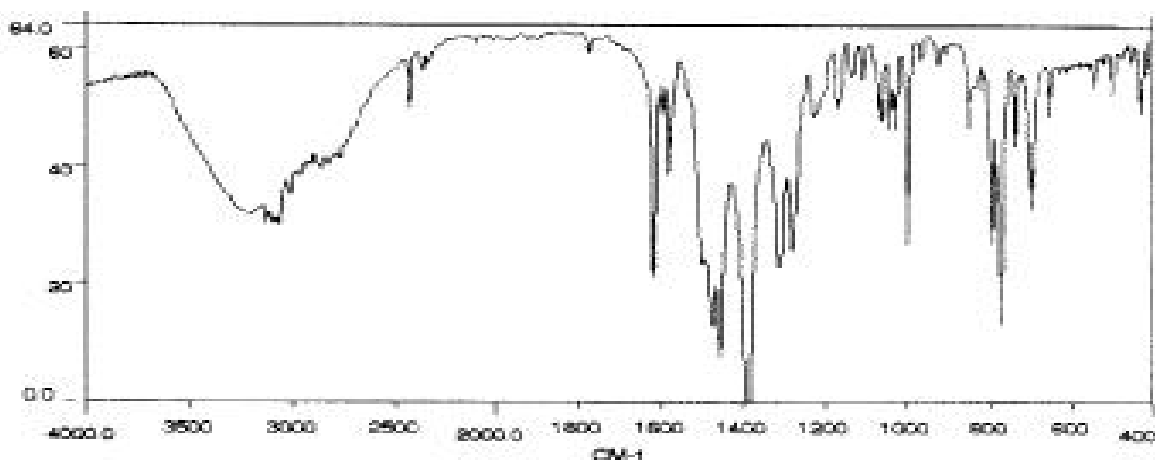


Fig. 2.  $\text{Ni}(\text{HL}')_2(\text{NO}_3)_2 \cdot 1/2\text{H}_2\text{O}$

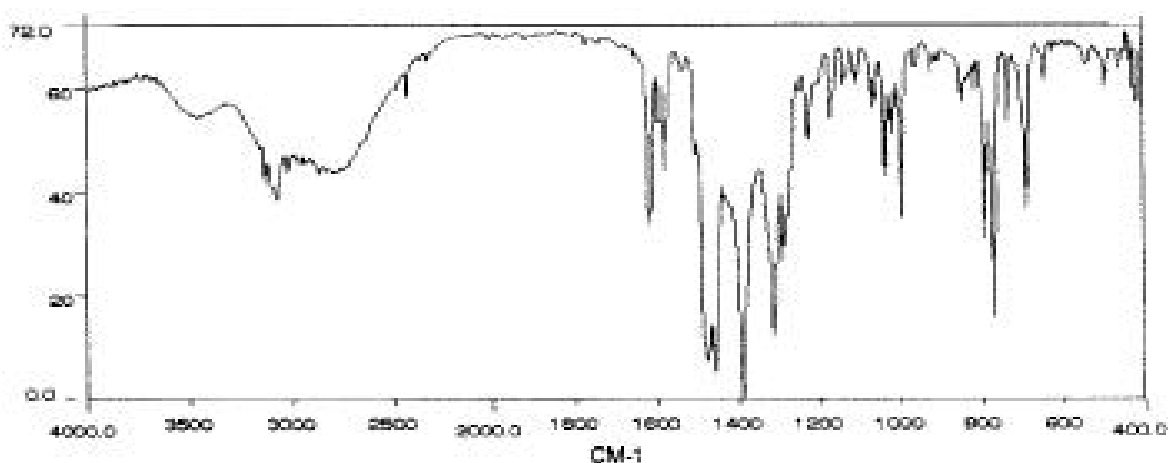


Fig. 3.  $\text{Cu}(\text{HL}')_2(\text{NO}_3)_2 \cdot 1/4\text{H}_2\text{O}$

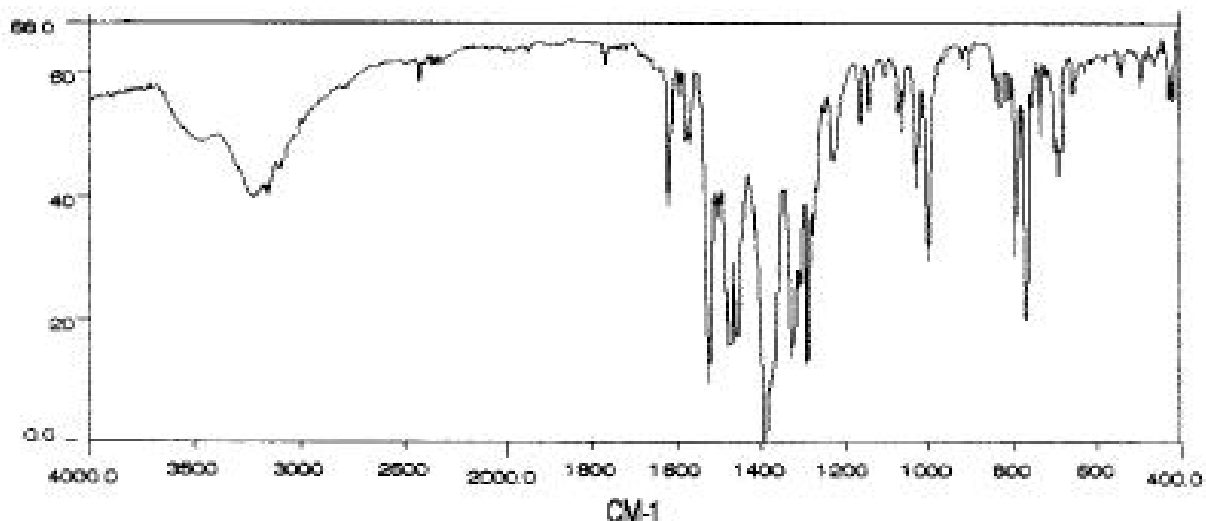


Fig. 4.  $\text{Cu}(\text{HL}^0)(\text{NO}_3)_2 \cdot 1/2\text{H}_2\text{O}$

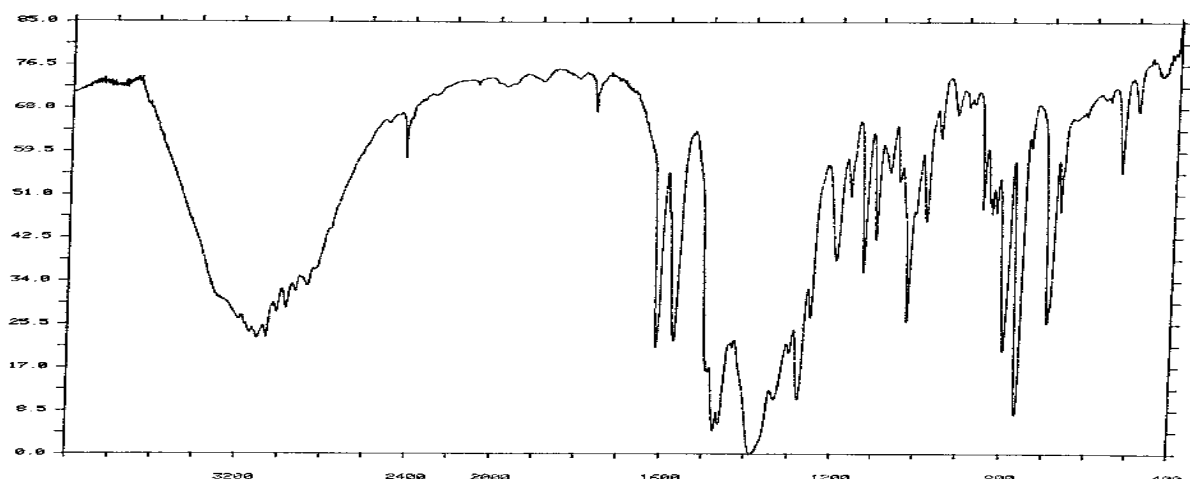


Fig. 5.  $\text{Co}(\text{HL}^1)_2(\text{NO}_3)_2 \cdot \text{EtOH} \cdot 1/4\text{H}_2\text{O}$

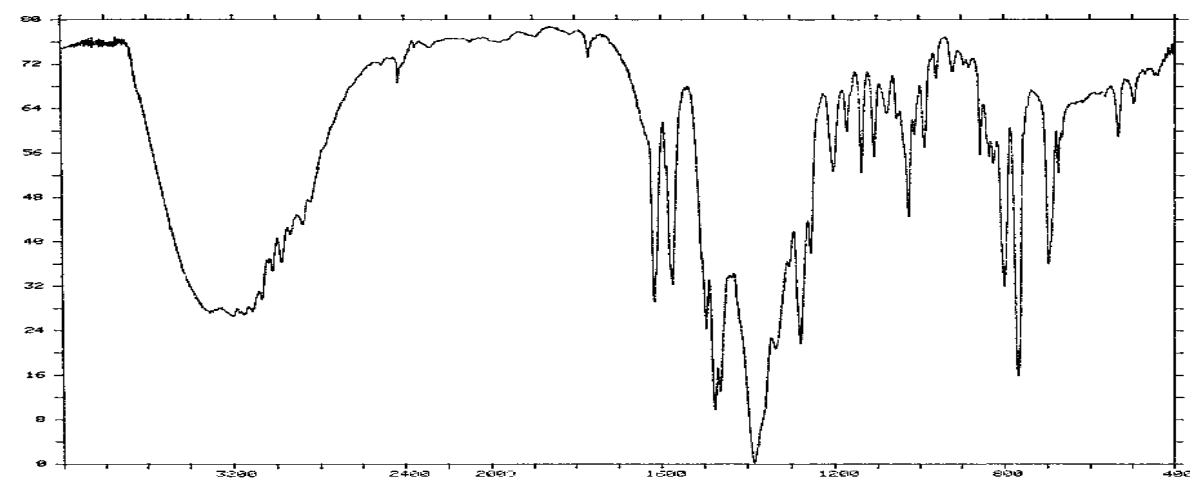


Fig. 6.  $\text{Ni}(\text{HL}^1)_2(\text{NO}_3)_2 \cdot \text{EtOH} \cdot 1/2\text{H}_2\text{O}$

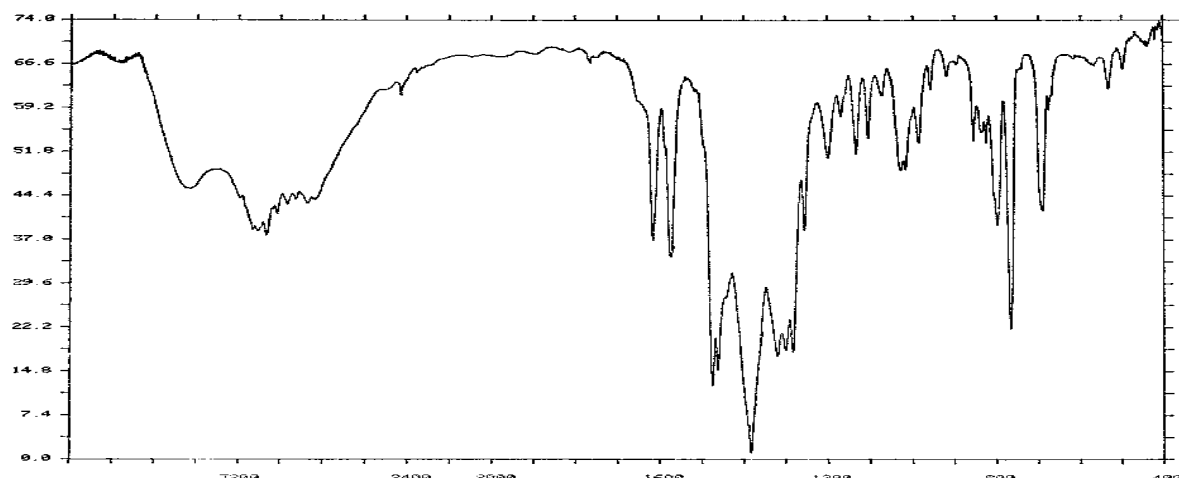


Fig. 7.  $\text{Cu}(\text{HL}^{\text{l}})_2(\text{NO}_3)_2 \cdot \text{H}_2\text{O}$

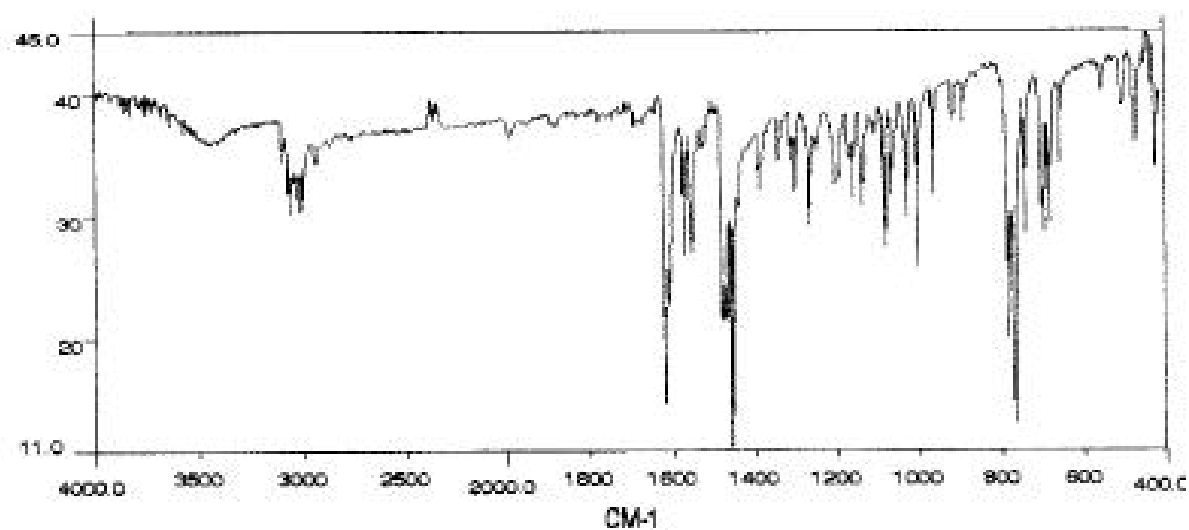


Fig. 8.  $\text{Cu}(\text{L}^{\text{o}})_2$

**AI. 4. Espectros IR de los complejos con Nitratos (700 - 100  $\text{cm}^{-1}$ )**

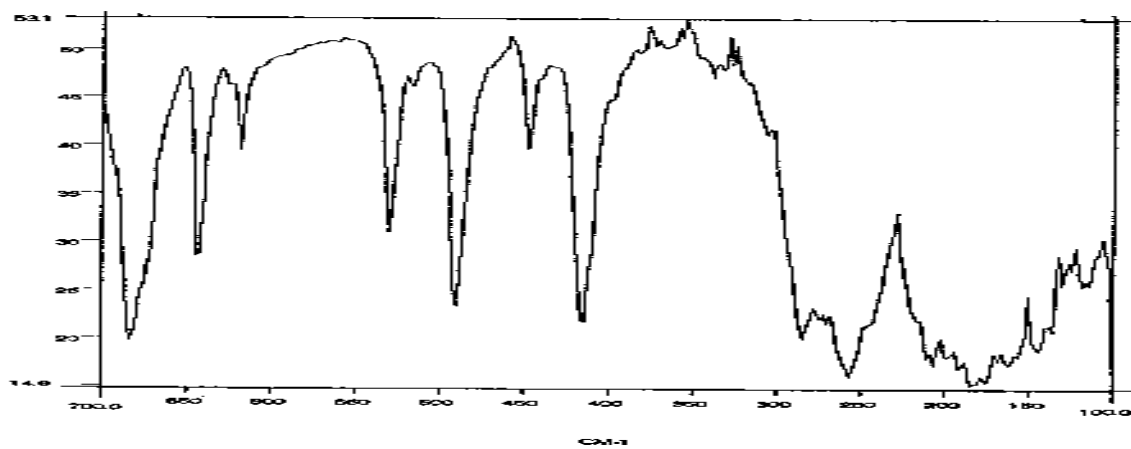


Fig. 1.  $\text{Co}(\text{HL}^0)_2(\text{NO}_3)_2 \cdot \text{H}_2\text{O}$

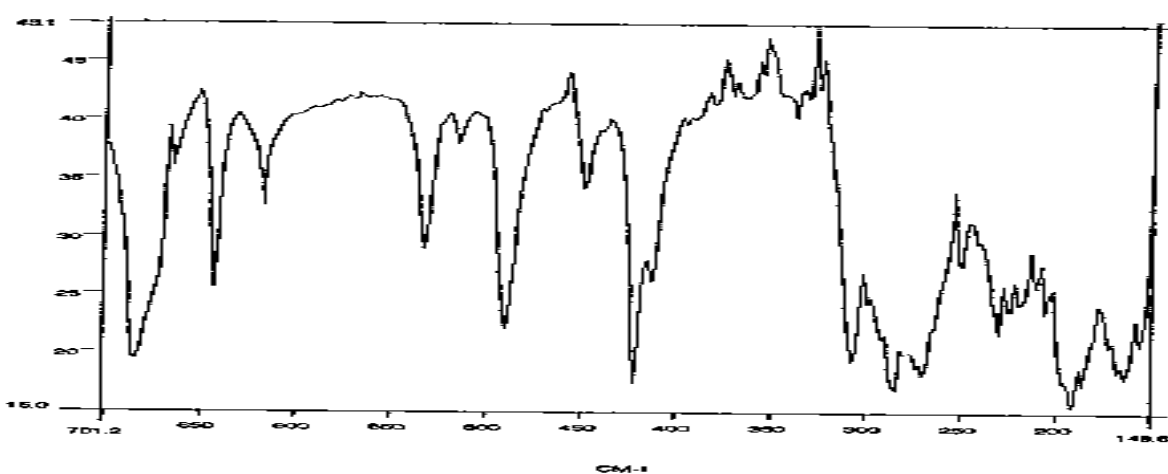


Fig. 2.  $\text{Ni}(\text{HL}^0)_2(\text{NO}_3)_2 \cdot 1/2\text{H}_2\text{O}$

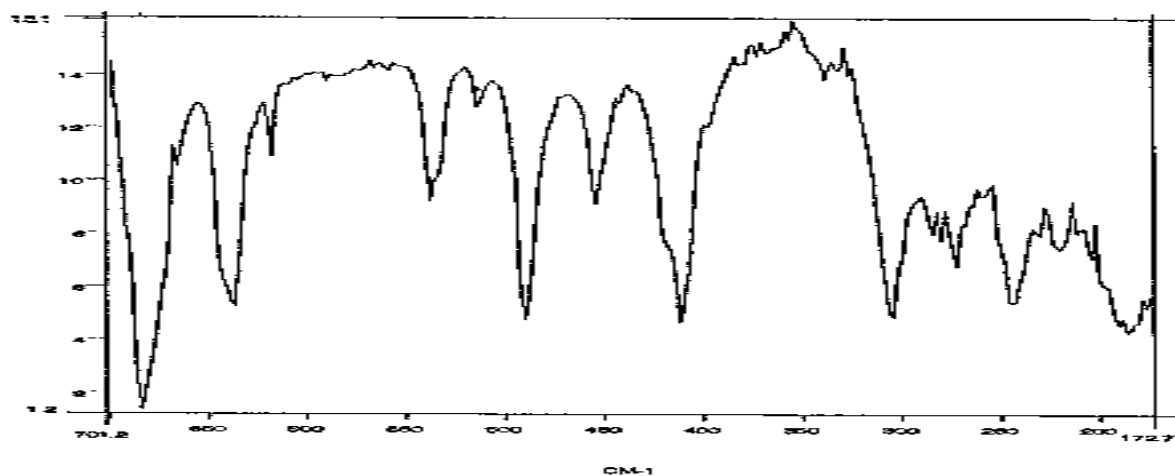


Fig. 3.  $\text{Cu}(\text{HL}^0)_2(\text{NO}_3)_2 \cdot 1/4\text{H}_2\text{O}$

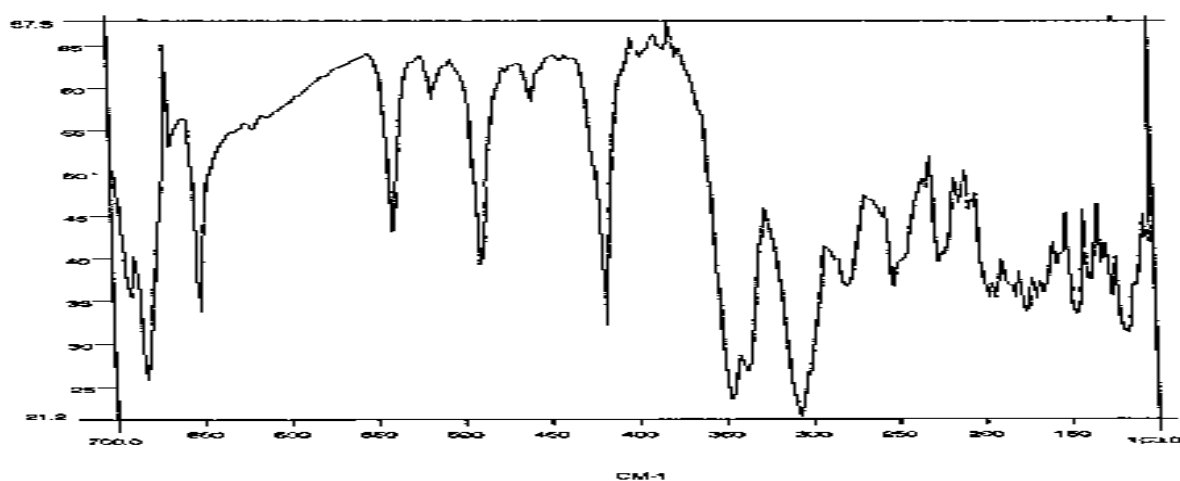


Fig. 4.  $\text{Cu}(\text{HL}^0)(\text{NO}_3)_2 \cdot 1/2\text{H}_2\text{O}$

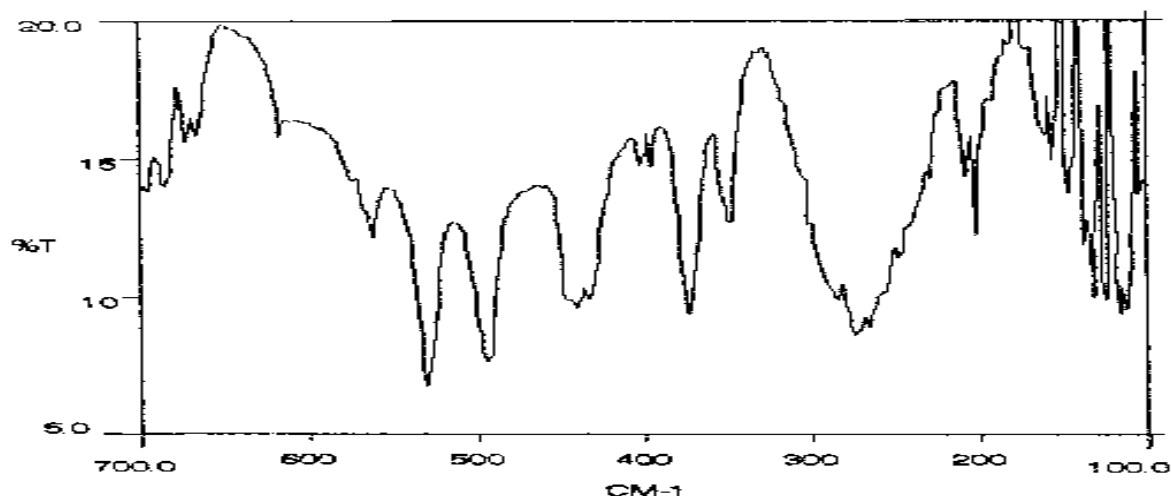


Fig. 5.  $\text{Co}(\text{HL}^1)_2(\text{NO}_3)_2 \cdot \text{EtOH} \cdot 1/4\text{H}_2\text{O}$

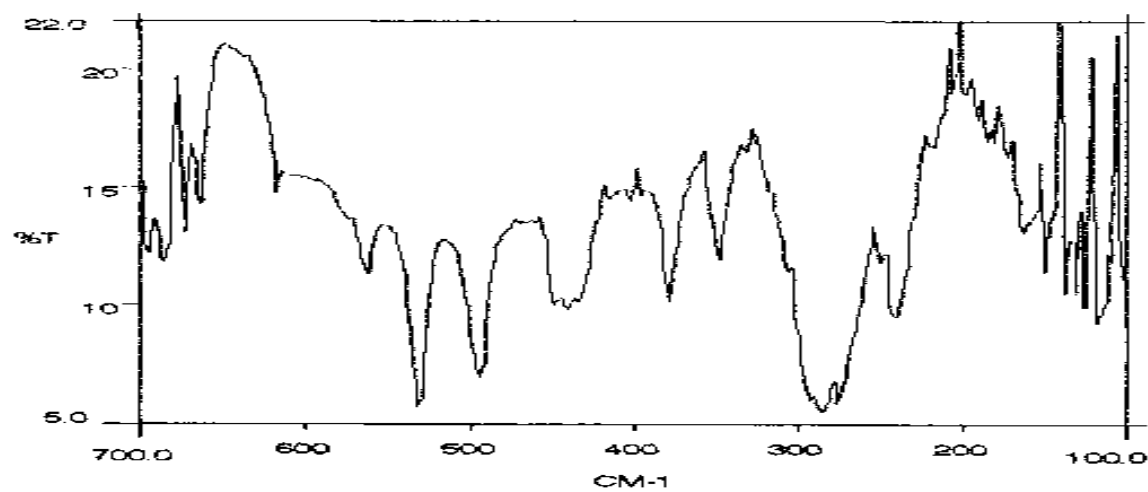


Fig. 6.  $\text{Ni}(\text{HL}^1)_2(\text{NO}_3)_2 \cdot \text{EtOH} \cdot 1/2\text{H}_2\text{O}$

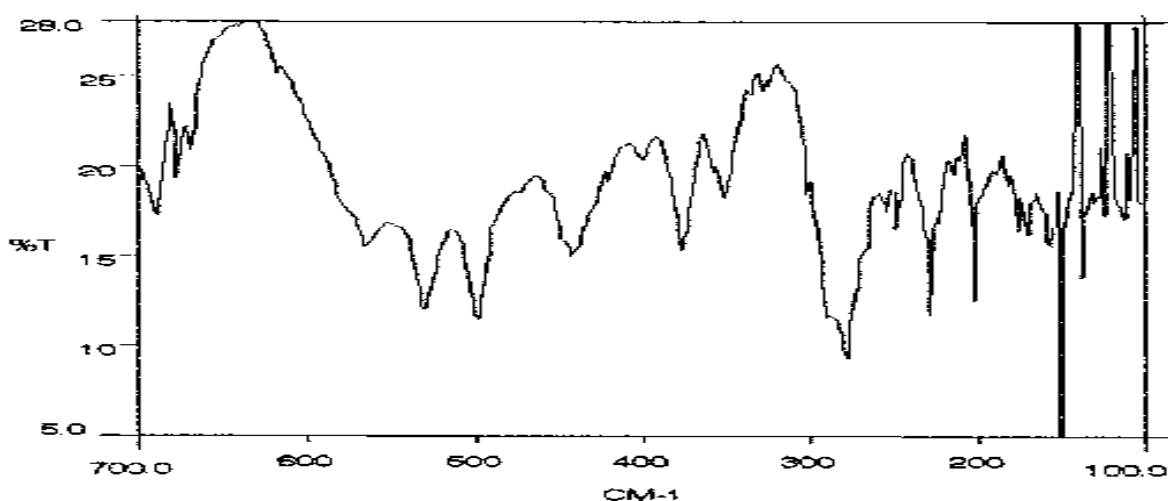


Fig. 7.  $\text{Cu}(\text{HL}^1)_2(\text{NO}_3)_2 \cdot \text{H}_2\text{O}$

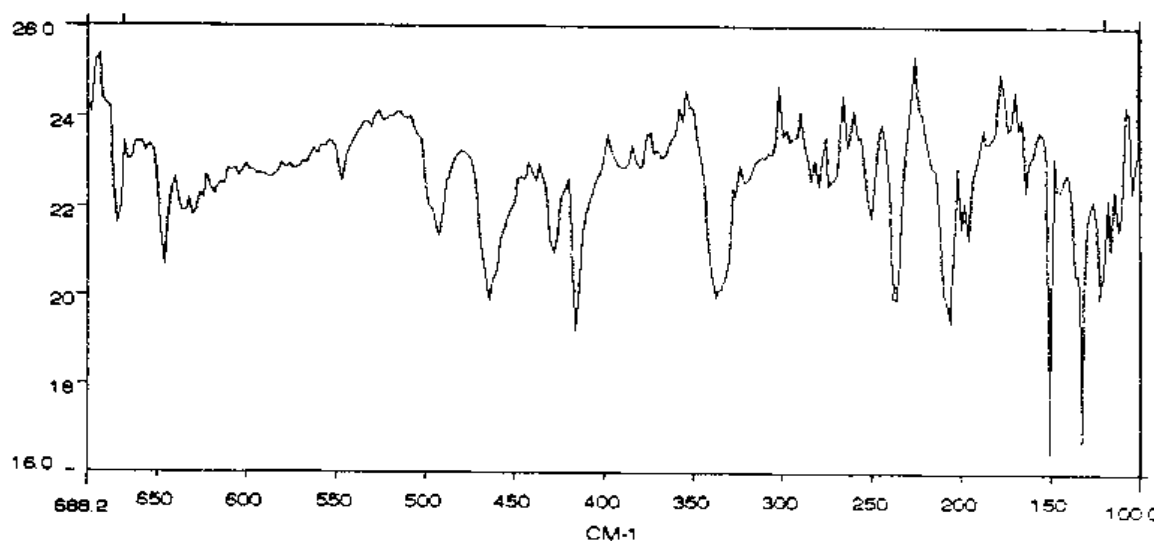


Fig. 8.  $\text{Cu}(\text{L}^0)_2$

**AI. 5. Espectros IR de los complejos con Acetatos (4000 – 400  $\text{cm}^{-1}$ )**

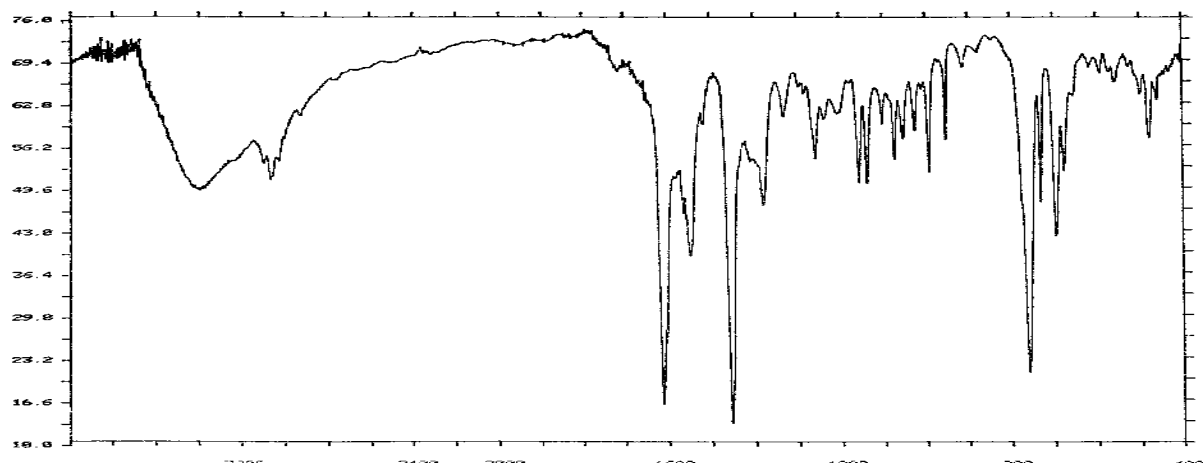


Fig. 1.  $\text{Co}(\text{L}^0)_2 \cdot 2\text{H}_2\text{O}$

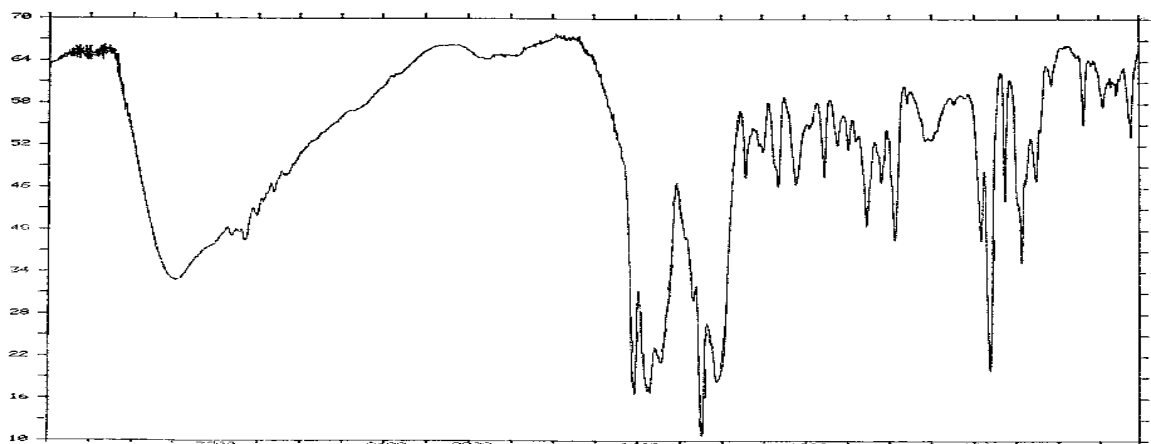


Fig. 2.  $\text{Ni}(\text{HL}^0)_2(\text{CH}_3\text{COO})_2 \cdot 2\text{H}_2\text{O}$

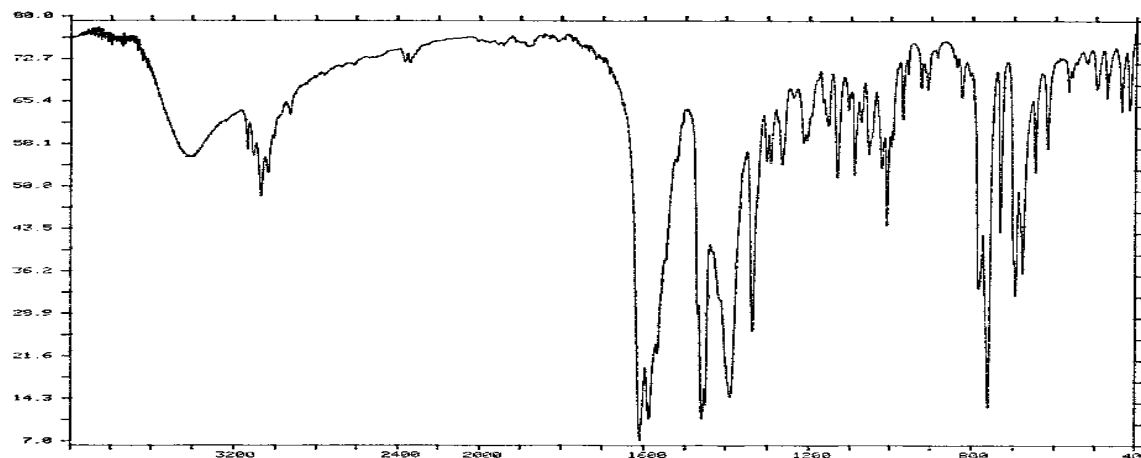


Fig. 3.  $\text{Cu}(\text{L}^0)(\text{CH}_3\text{COO})$

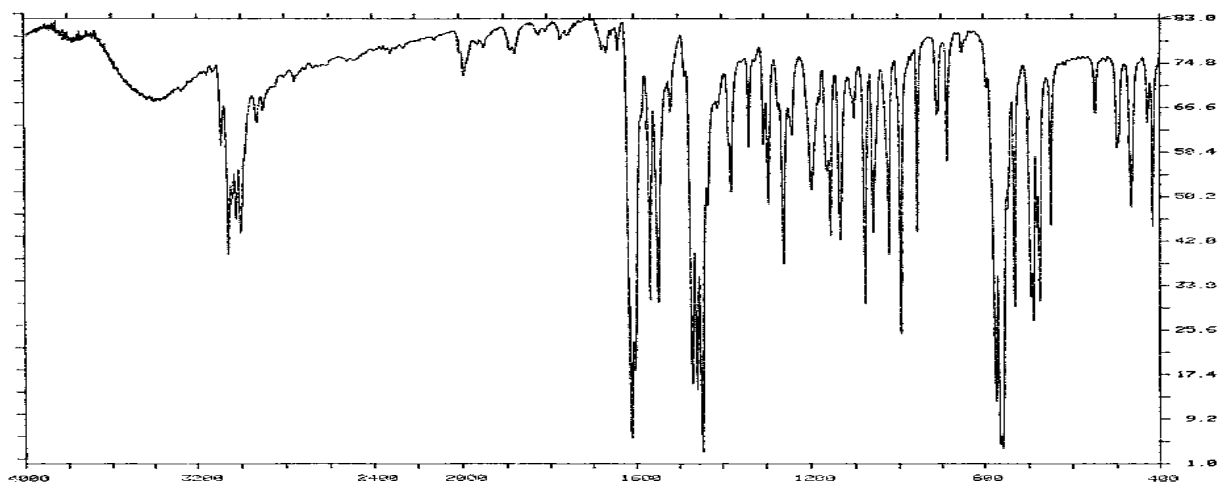


Fig. 4.  $\text{Cu}(\text{L}^{\theta})_2$

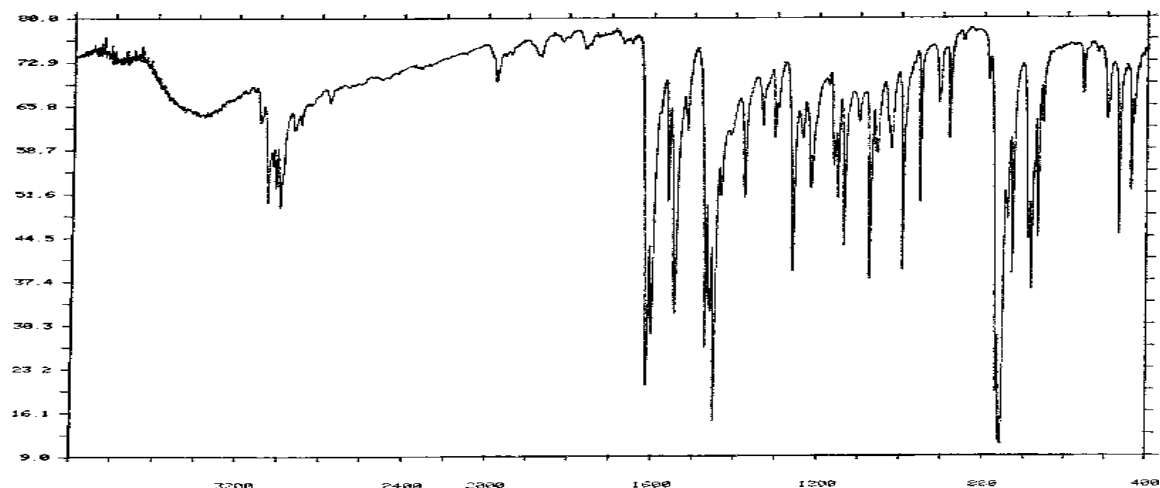


Fig. 5.  $\text{Pd}(\text{L}^{\theta})_2 \cdot \text{H}_2\text{O}$

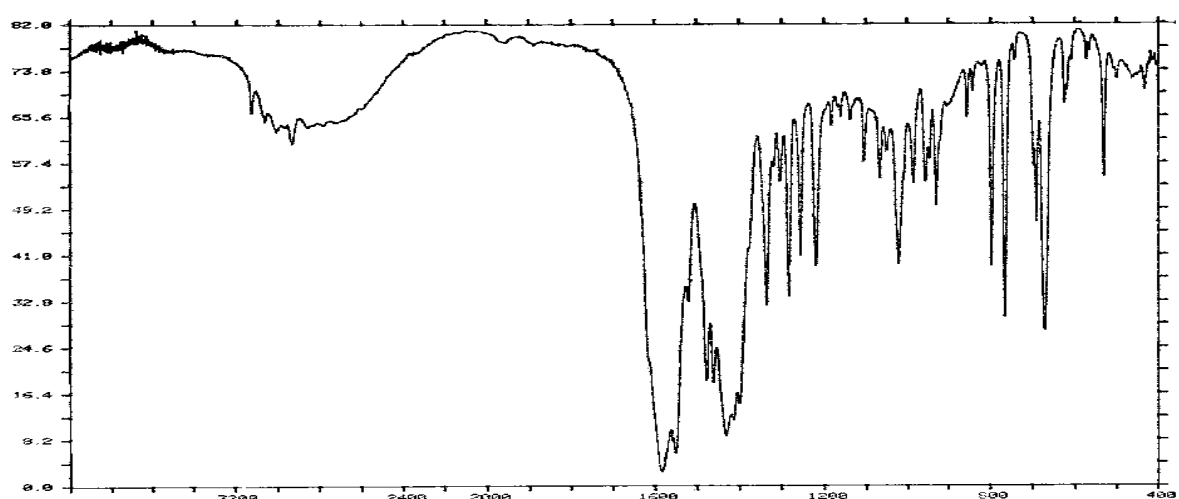


Fig. 6.  $\text{Co}(\text{L}^1)(\text{CH}_3\text{COO})_3$

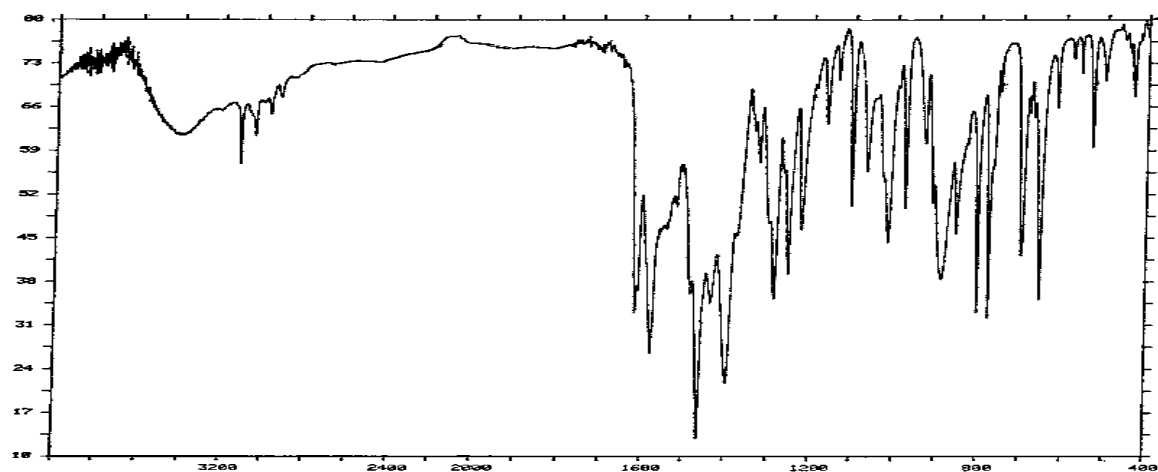


Fig. 7.  $\text{Ni}(\text{HL}^1)_2(\text{CH}_3\text{COO})_2 \cdot 1/2\text{H}_2\text{O}$

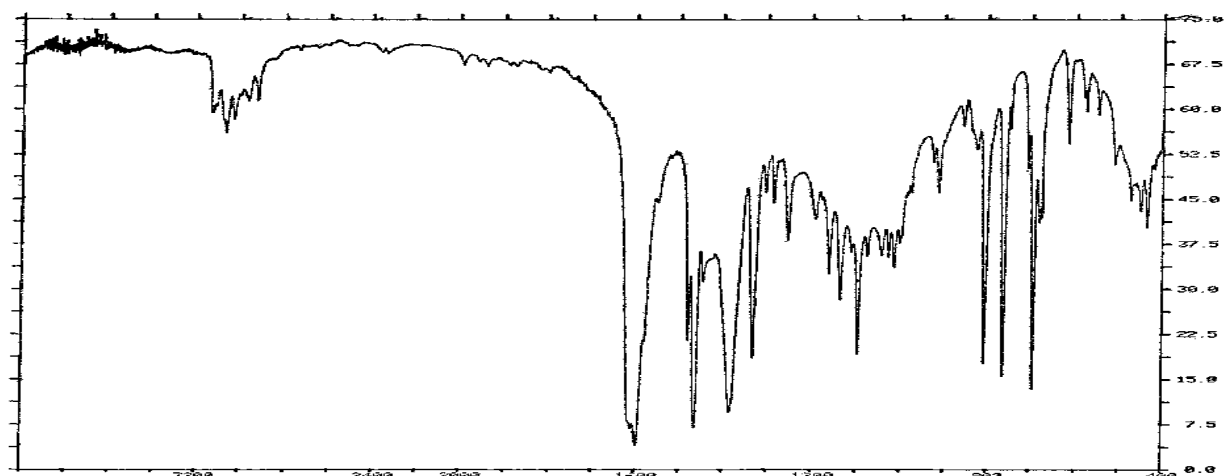


Fig. 8.  $\text{Cu}(\text{L}^1)(\text{CH}_3\text{COO}) \cdot 2/3\text{H}_2\text{O}$

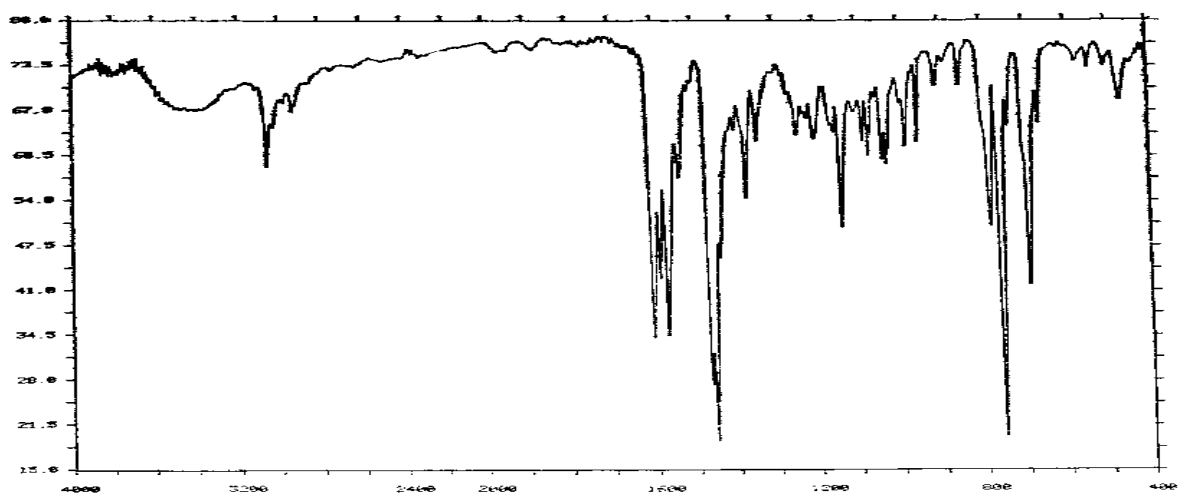


Fig. 9.  $\text{Pd}(\text{L}^1)_2$

**AI. 6. Espectros IR de los complejos con Acetatos (700 - 100  $\text{cm}^{-1}$ )**

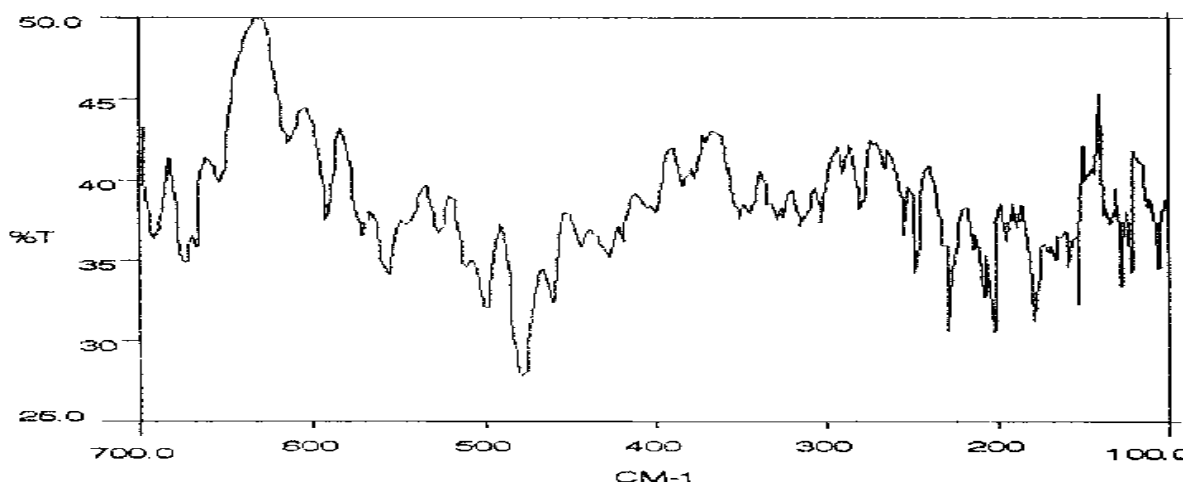


Fig. 1.  $\text{Co}(\text{L}^0)_2 \cdot 2\text{H}_2\text{O}$

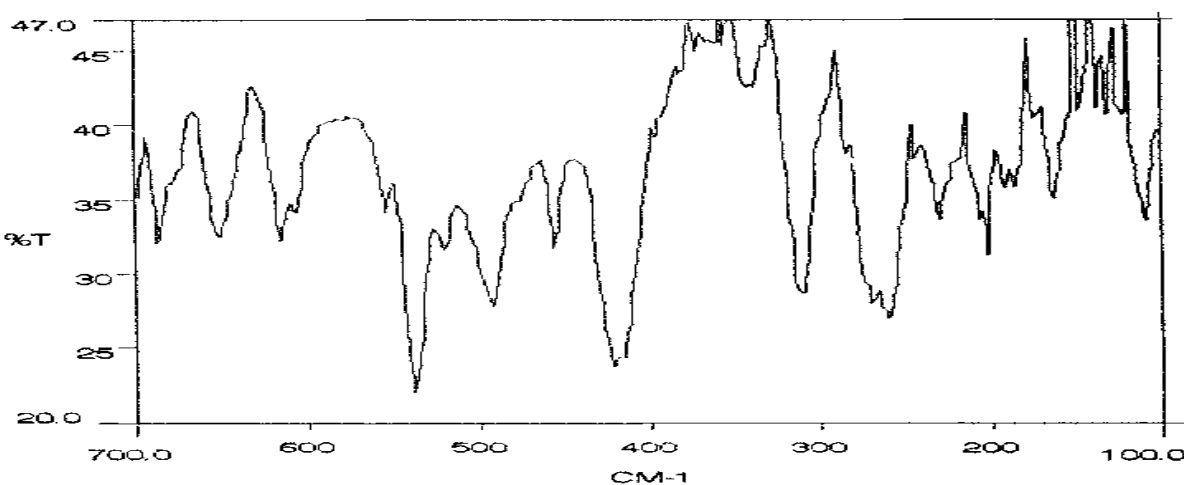


Fig. 2.  $\text{Ni}(\text{HL}^0)_2(\text{CH}_3\text{COO})_2 \cdot 2\text{H}_2\text{O}$

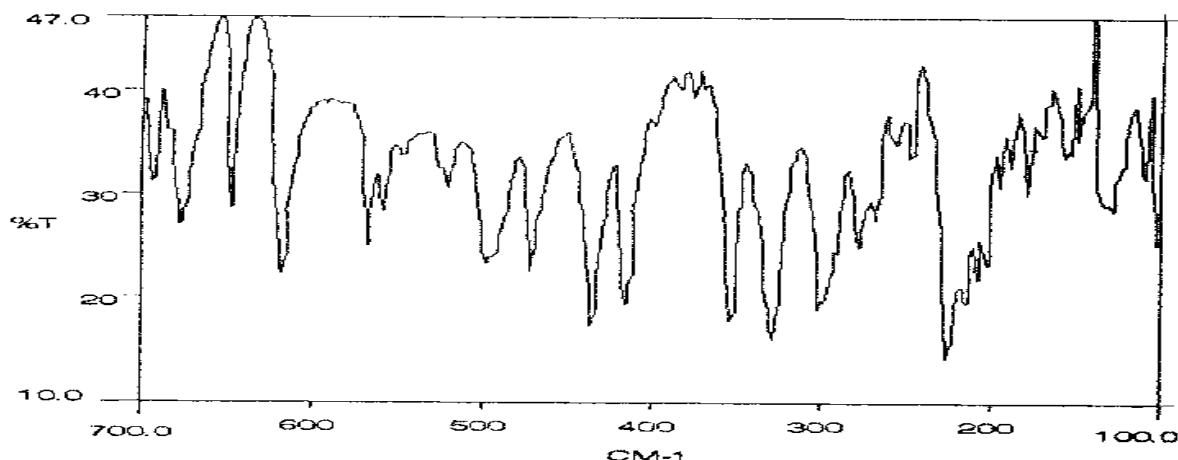


Fig. 3.  $\text{Cu}(\text{L}^0)(\text{CH}_3\text{COO})$

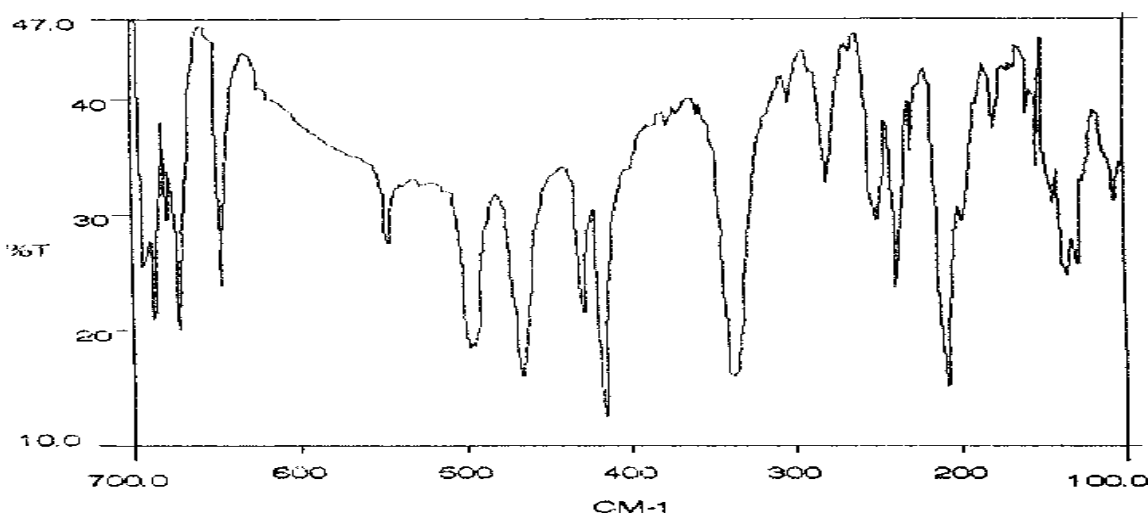


Fig. 4.  $\text{Cu}(\text{L}^0)_2$

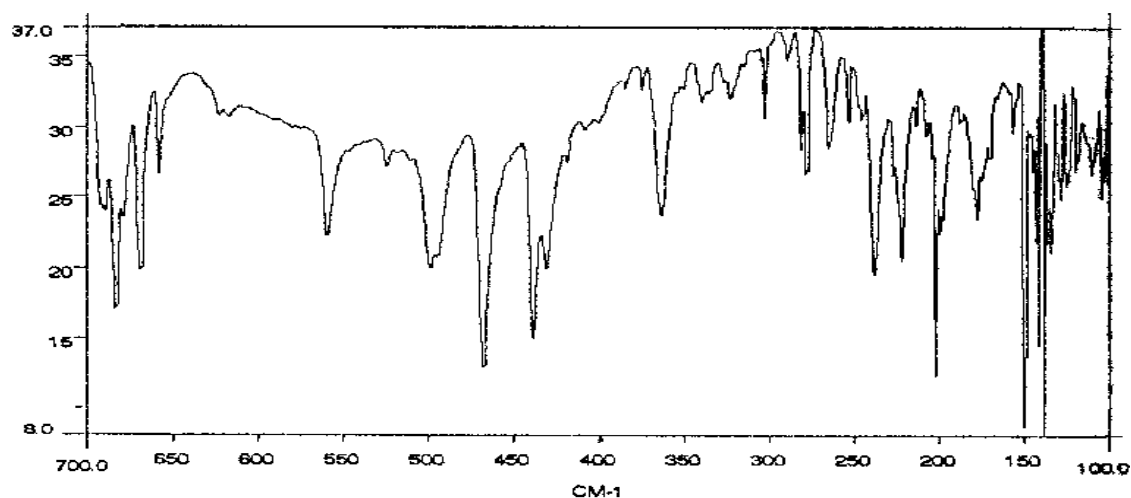


Fig. 5.  $\text{Pd}(\text{L}^0)_2 \cdot \text{H}_2\text{O}$

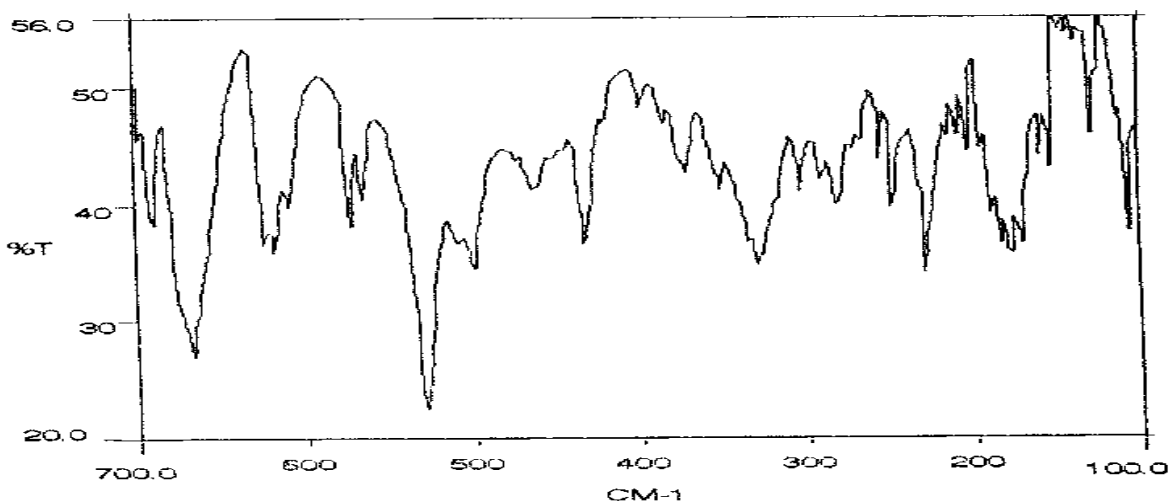


Fig. 6.  $\text{Co}_2(\text{L}^I)(\text{CH}_3\text{COO})_3$

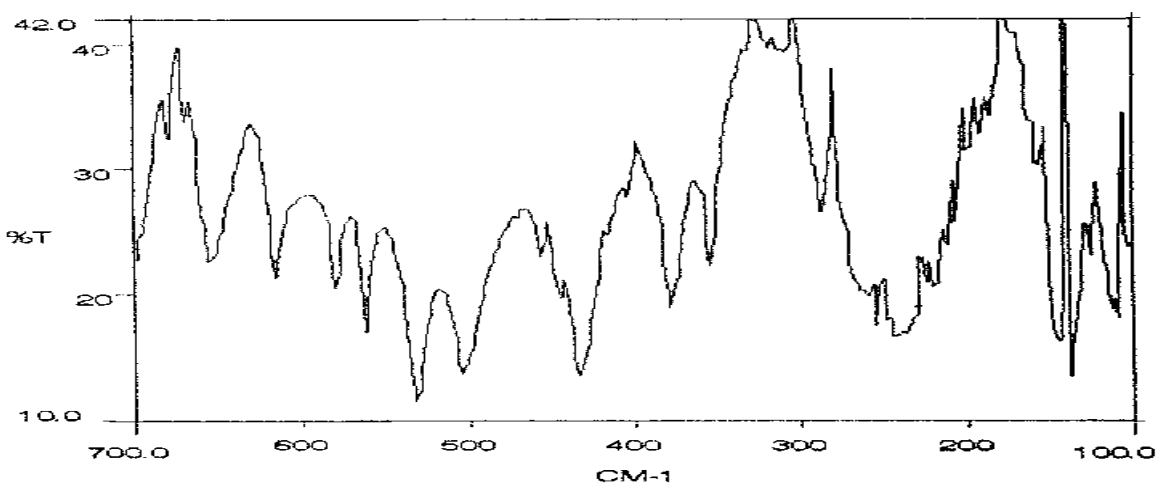


Fig. 7.  $\text{Ni}(\text{HL}^1)_2(\text{CH}_3\text{COO})_2 \cdot 1/2\text{H}_2\text{O}$

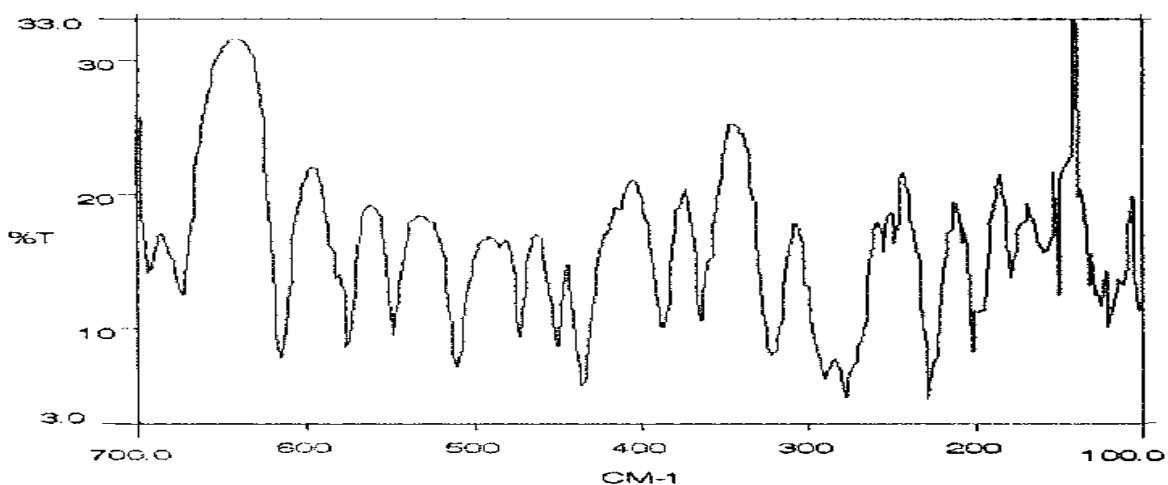


Fig. 8.  $\text{Cu}(\text{L}^1)(\text{CH}_3\text{COO}) \cdot 2/3\text{H}_2\text{O}$

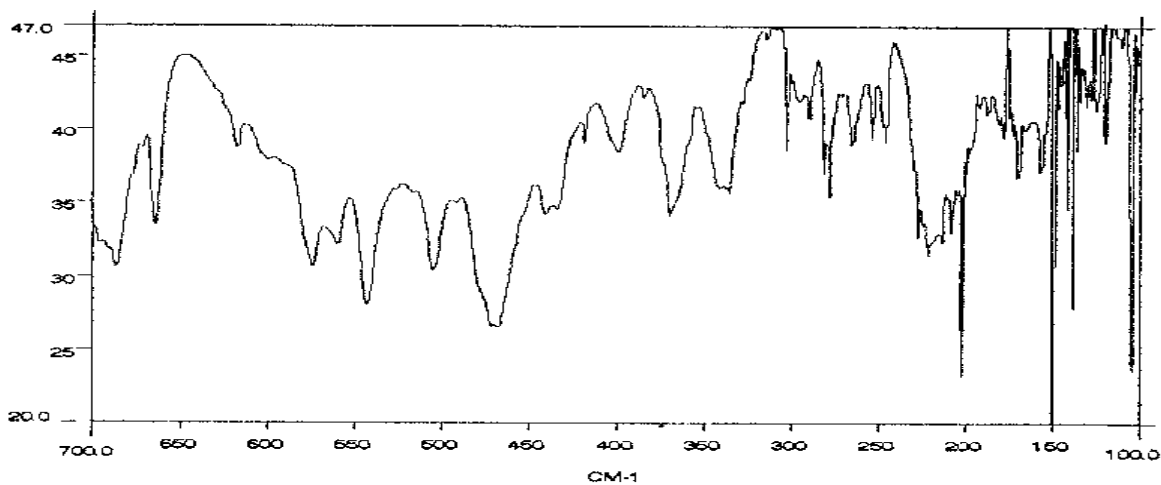


Fig. 9.  $\text{Pd}(\text{L}^1)_2$